# Сравнительное рентгеноабсорбционное исследование спектра свободных электронных состояний в комплексах тетрафенилпорфиринов кобальта и никеля

Г.И. Свирский<sup>1</sup>, А.В. Генералов<sup>1,2</sup>, А.Ю. Клюшин<sup>1,3,4</sup>, К.А. Симонов<sup>1,2</sup>, С.А. Красников<sup>1,5</sup>, Н.А. Виноградов<sup>1,2</sup>, А.Л. Тригуб<sup>6</sup>, Я.В. Зубавичус<sup>6</sup>, А.Б. Преображенский<sup>1,2</sup> и А.С. Виноградов<sup>1</sup>¶

- <sup>1</sup> Физический факультет, Санкт-Петербургский государственный университет, 198504 Санкт-Петербург, Россия
  - <sup>2</sup> MAX IV Laboratory, University of Lund, PO Box 118, S-22100 Lund, Sweden
- <sup>3</sup> Research Group Catalysis for Energy, Helmholtz Zentrum Berlin, 14109 Berlin,
- <sup>4</sup> Germany Fritz-Haber-Institut der Max-Planck-Gesellschaft, Dept. Inorganic Chemistry, Faradayweg 4-6, 14195 Berlin, Germany
- <sup>5</sup> School of Physical Sciences, Dublin City University, Glasnevin, Dublin 9, Republic of Ireland
  - <sup>6</sup> Национальный исследовательский центр «Курчатовский институт»,123182 Москва, Россия

¶ E-mail: asvinograd@gmail.com

#### Аннотация

Методами рентгеновской абсорбционной спектроскопии изучены энергетические распределения и свойства нижних свободных электронных состояний в комплексах тетрафенилпорфиринов кобальта СоТРР и никеля NiTPP. Квазимолекулярный анализ экспериментальных спектров поглощения, измеренных в области 2p- и 1s-порогов ионизации комплексообразующих атомов металлов, а также 1*s*-порогов атомов лиганда (азота и углерода), выполнен на основе сравнения соответствующих спектров между собой и со спектрами простейшего порфирина никеля NiP. Установлено, что при общем подобии спектров азота и углерода для СоТРР и NiTPP тонкая структура 2p- и 1s-спектров поглощения атомов кобальта и никеля отличается радикальным образом друг от друга. Наблюдаемые различия спектров кобальта связываются с парамагнетизмом СоТРР, обусловленным наличием частично заполненной валентной  $3db_{2g}$ -MO. Показано, что спектр свободных состояний CoTPP отличается от спектра NiTPP за счёт наличия  $3db_{2g}$ -MO и меньшего расстояния между  $3db_{1g}$ -МО и  $e_{g}$ -МО.

Работа выполнена частично в рамках двухсторонней Программы «Российско-Германская лаборатория БЭССИ» при поддержке Российского фонда фундаментальных исследований (грант №15-02-06369).

#### 1. Введение

Порфирины атомов переходных металлов вызывают большой научный и технологический интерес ввиду их ключевой роли в ряде биохимических процессов [1,2] и возможностей использования в таких современных технологиях как молекулярная электроника [3], нелинейная оптика [4], катализ [5], диагностика и терапия раковых заболеваний [6], химические сенсоры [7], светособирающие комплексы [8] и устройства хранения информации [9]. В связи с этим атомная и электронная структура молекулярных комплексов металлопорфиринов является предметом большого количества экспериментальных и теоретических исследований. Однако вследствие многообразия порфиринов и сложности их электронного строения эти исследования до настоящего времени охватывают в основном лишь узкий круг наиболее простых систем. К числу наиболее популярных объектов молекулярные тетрафенилпорфиринов исследования относятся комплексы переходных 3d-металлов (3d-MTPPs).

Детали атомной и электронной структуры молекул 3*d*-MTPPs исследовались с помощью методов сканирующей туннельной и электронной микроскопии, оптического поглощения в ИК, видимом и УФ диапазонах, а также фотоэлектронной спектроскопии. Большинство из этих работ были посвящены изучению морфологии ориентации тонких пленок ЭТИХ металлопорфиринов на монокристаллических поверхностях [10-14], влияния на электронную структуру молекул MTPPs их взаимодействия с различными металлическими подложками [10, 15-17] или синтезу молекул 3*d*-МТРР из молекул свободного тетрафенилпорфирина H<sub>2</sub>TPP с помощью поверхностных реакций замещения центральных атомов водорода атомом металла подложки [18-20]. В то же время лишь в небольшом количестве работ исследовались спектр и свойства свободных (занятых) электронных состояний 3*d*-MTPPs, которые определяют все физико-химические свойства ЭТИХ молекулярных комплексов.

Одним из наиболее информативных экспериментальных методов получения информации о свойствах свободных электронных состояний в различных полиатомных системах является в настоящее время метод рентгеновской абсорбционной спектроскопии, основанный на анализе ближней тонкой структуры рентгеновских спектров поглощения (БТС РСП или NEXAFS – Near Edge X-ray Absorption Fine Structure) [21]. В работах [22-26] NEXAFS спектроскопия была использована для изучения свободных электронных состояний в некоторых 3*d*-

МТРР. Однако в них, как правило, рассматривались только либо 1s-спектры поглощения атомов порфиринового лиганда (азота и углерода) либо 1s- или 2p-спектры поглощения центрального атома металла в 3d-МТРР. Наиболее полные рентгеноабсорбционные исследования были выполнены, по-видимому, для ряда порфиринов никеля в работах [27–29], продемонстрировавших возможности рентгеновской абсорбционной спектроскопии для характеризации атомного строения и электронных свойств подобных систем, а также особенностей химического связывания атомов в них.

Следует заметить, что рентгеновские спектры атомов металла и лиганда исследованных порфиринов никеля позволяют достаточно просто установить однозначную связь абсорбционных полос с электронными переходами на свободные молекулярные орбитали (МО) молекулярных комплексов, поскольку все их валентные MO полностью заполнены и соответственно полный спин S молекул равен нулю. В случае порфиринов других 3*d*-атомов (Со, Fe и др.), имеющих среди валентных MO частично заполненные орбитали, молекулы обладают парамагнитными свойствами, поскольку их полный спин отличен от нуля. В этом случае спектры атомов металлов будут существенно усложняться вследствие обменного 3*d*–3*d* электронного взаимодействия между внутренним электроном, перешедшим на свободную МО, и электронами в частично заполненной валентной МО. Ранее это было продемонстрировано на примере NEXAFS спектров фталоцианинов 3d-атомов [30]. Как следствие, эти обменные эффекты заметно затрудняют полную идентификацию спектров и получение информации о свободных электронных состояний изучаемой полиатомной системы.

Основной целью данной работы являлось получение для молекулярных комплексов тетрафенилпорфиринов кобальта и никеля, CoTPP и NiTPP, детальной информации о свойствах низших свободных электронных состояний на основе сравнительного анализа полного набора рентгеновских спектров поглощения атомов металла (Co2p-, Co1s-, Ni2p- и Ni1s-) и порфиринового лиганда (N1s- и C1s-) с учётом влияния различия спинового состояния молекул CoTPP (S=1/2) и NiTPP (S=0) на тонкую структуру 2p- и 1s- спектров атомов кобальта. При анализе предполагается использование результатов проведённого ранее рентгеноабсорбционного исследования простейшего порфирина никеля NiP [29].

## 2. Экспериментальная часть

Измерения Ni2p-, Co2p-, N1s- и C1s-спектров поглощения NiTPP и CoTPP были выполнены с использованием оборудования Российско-Германского канала вывода и монохроматизации синхротронного излучения (СИ) электронного накопителя БЭССИ II (BESSY II, Berlin, Germany) [31]. Порошки исследованных порфиринов были приобретены в Sigma Aldrich [32]. Образцы для измерений были приготовлены in situ путем термического испарения порошков порфиринов из танталового тигля ячейки Кнудсена и осаждения на чистую поверхность медной пластинки (NiTPP) или грань (111) кристалла иридия (CoTPP). Приготовленные образцы представляли собой поликристаллические слои с толщинами около 30 nm (NiTPP) и 5 nm (CoTPP). Температура тигля при напылении была около 600 К. Скорость напыления контролировалась кварцевыми микровесами и составляла около 0.6 и 0.1 nm/min для слоев NiTPP и CoTPP соответственно. Давление паров порфиринов в препарационной камере при напылении не превышало 5·10-8 mbar.

Рентгеновские Ni2p-, Co2p-, N1-s и C1s-спектры были получены методом полного электронного выхода внешнего рентгеновского фотоэффекта в режиме измерения тока утечки с образца при варьировании энергии фотонов, падающих на образец. Из литературы известно, что значение полного электронного выхода вблизи порогов ионизации пропорционально сечению поглощения [33,34]. Энергетическое разрешение монохроматора в области  $Ni2p_{3/2}$ - (~ 850 eV),  $Co2p_{3/2}$ - (~ 780 eV), N1s- (~ 400 eV) и C1s- (~ 280 eV) краёв поглощения составляло 550, 480, 180 и 100 meV соответственно. Все спектры нормировались на падающий поток фотонов, который регистрировался путем измерения фототока с золотой сетки, установленной на выходе канала вывода СИ. Энергия фотонов калибровалась с помощью положений первых узких пиков в Ti2p- (459.0 eV) и F1s- (683.9 eV) спектрах поглощения твердофазного К2ТіГ6 [35]. Измерения проводились при комнатной температуре и давлении остаточных газов в экспериментальной камере не выше 2·10<sup>-10</sup> mbar. В процессе измерений заметных эффектов зарядки и разложения образцов, облучаемых интенсивным пучком монохроматизированного СИ мягкого рентгеновского диапазона, не наблюдалось.

Рентгеновские М1*s*-спектры поглощения NiTPP и CoTPP были измерены методом пропускания, используя оборудование станции «Структурное материаловедение» канала вывода и монохроматизации 1.3b накопительного кольца «Сибирь-2» Курчатовского специализированного источника СИ (КИСИ-Курчатов).

В качестве детекторов падающего и проходящего рентгеновского излучения использовались ионизационные камеры, заполненные смесью газов ( $N_2$ , Ar, Xe). Образцы для измерений представляли собой однородные порошки порфиринов, засыпанные в кюветы толщинами ~0.5 mm, оба торца которых были ограничены каптоновой пленкой. Энергетическое разрешение монохроматора в области Ni1s- (~8350 eV) и Co1s- (~7700 eV) краев поглощения составляло 900 и 800 meV соответственно [36].

## 3. Результаты и обсуждение

Исследованные тетрафенилпорфирины атомов 3d-металла  $C_{44}H_{28}N_4M$  (M = Ni, Co) представляют собой молекулярные комплексы, состоящие из плоской молекулы порфина металла МР, к которой в мезо-позициях к мостиковым атомам углерода  $C_b$  присоединены четыре фенильных группы  $C_6H_5$  (Рис.1) [37]. В свою очередь порфин металла образован центральным комплексообразующим атомом металла M, который окружен четырьмя пиррольными кольцами NC4, соединенными между собой атомами  $C_{\alpha}$  через мостиковые атомы углерода  $C_b$ . Плоские фенильные группы в молекуле МТРР, замещающие в МР атомы водорода у атомов Сь, ориентированы перпендикулярно относительно плоскости порфинового макроцикла вследствие межэлектронного отталкивания между атомами водорода макроцикла и фенильных групп [38]. В конденсированном состоянии комплексы представляют собой молекулярные кристаллы, в которых молекулы сцеплены друг с другом за счет  $\pi$ - $\pi$  взаимодействия делокализованных  $\pi$ -орбиталей порфинового макроцикла, определяемого главным образом силами Ван-дер-Ваальса [39]. В кристаллах угол поворота фенильных групп отличается от 90° и точечная симметрия MTPPs в зависимости от угла поворота характеризуется группами  $S_4$  или  $D_{2d}$  [37-39]. Тем не менее, центральная часть комплекса, включающая атом металла и порфиновый макроцикл, сохраняет плоскую конфигурацию, соответствующую группе  $D_{4h}$ точечной симметрии.

Переходя к рассмотрению экспериментальных спектров поглощения изучаемых комплексов, заметим, что CoTPP и NiTPP имеют близкие параметры атомного строения, а их электронные конфигурации отличаются всего одним 3d-электроном, отсутствующим в конфигурации атома кобальта ([Ar] $3d^74s^2$ ) по сравнению с атомом никеля ([Ar] $3d^84s^2$ ). Последнее указывает на важность изучения спектра M3d-электронных состояний в этих полиатомных системах. Наиболее эффективным способом получения этой информации для свободных 3d-состояний

является рентгеновская абсорбционная спектроскопия в области 2p-краёв поглощения атомов 3d-металлов. Тонкая структура этих спектров формируется в основном дипольно-разрешёнными переходами  $2p_{3/2}$ - и  $2p_{1/2}$ -электронов в незанятые состояния, образованные с участием 3d-состояний атомов металла, поскольку разрешённые переходы 2p-электронов в 4s-состояния примерно в 20 раз менее интенсивные по сравнению с  $2p \rightarrow 3d$  переходами [40]. Это означает, что основные различия в спектре незанятых электронных состояний для этих комплексов должны наиболее заметно проявляться в 2p-спектрах поглощения атомов металла.

Поэтому обсуждение полученных экспериментальных результатов начнём со сравнительного анализа M2p-спектров поглощения комплексов NiTPP и CoTPP (рис.2, правая панель). Обозначения абсорбционных полос ближней тонкой структуры в этих (и других) спектрах комплексов выполнены с учётом результатов их последующей идентификации. Оба спектра состоят из двух групп абсорбционных полос, отражающих дипольно-разрешенные переходы  $M2p_{3/2}$ - и  $2p_{1/2}$ -электронов в свободные электронные состояния, образованные с участием 3d-состояний атомов никеля (кобальта). Заметим, что 2p-спектры поглощения никеля в NiTPP практически совпадают со спектрами порфирина NiP [29]. В дальнейшем мы будем рассматривать только низкоэнергетические  $2p_{3/2}$ -компоненты, которые имеют более чёткую и разрешённую тонкую структуру. В  $2p_{1/2}$ -спектре последняя разрешена существенно хуже вследствие значительно бо́льшей естественной ширины  $M2p_{1/2}$ -уровня, что обусловлено дополнительными Оже-процессами распада рентгеновского (дырочного)  $2p_{1/2}$ -состояния атома металла  $(2p_{1/2}^{-1} \rightarrow 2p_{3/2}^{-1}3d^{-1})$  [41].

При сравнении М2 $p_{3/2}$ -спектров поглощения NiTPP и CoTPP хорошо видно, что их тонкая структура сильно отличается друг от друга. Спектр никеля характеризуется интенсивным низкоэнергетическим пиком A и малоинтенсивныеми полосами B-D при бо́льших энергиях фотонов. В случае же  $Co2p_{3/2}$ -спектра в низкоэнергетической области наблюдаются три интенсивных близко расположенных резонанса  $A^*$ ,  $A_1$  и  $A_2$ . Далее, с высокоэнергетической стороны пика  $A_2$  отчётливо видны два плеча  $B_1$  и  $B_2$ , после которых следуют полосы поглощения C и D. Поскольку сравниваемые спектры доминируются переходами остовных  $M2p_{3/2}$ -электронов в свободные электронные состояния с вкладами M3d-состояний, то очевидно, что различия  $2p_{3/2}$ -спектров никеля и кобальта, наблюдаемые в их низкоэнергетической области, обусловлены особенностями энергетического распределения в NiTPP и CoTPP свободных электронных состояний с M3d-вкладами.

Это соображение согласуется с результатами рассмотрения для изучаемых комплексов 1*s*-спектров поглощения атомов никеля и кобальта (рис. 2, левая панель), тонкая структура которых главным образом формируется дипольно-разрешёнными переходами M1*s*-электронов в свободные электронные состояния, имеющие вклады дискретных 4*p*- и континуумных  $\varepsilon p$ -состояний атомов металла. Действительно, хорошо видно, что Ni1*s*- и Co1*s*-спектры комплексов демонстрируют подобное спектральное поведение, а небольшие различия между ними в основном сводятся к меньшей контрастности абсорбционных структур в Co1*s*-спектре и различиям в структуре слабых квадрупольных M1*s* $\rightarrow$ 3*d* переходов в низкоэнергетической области спектров (вставки на рисунках). Интересно заметить, что переход от Ni1*s*- к Co1*s*-спектру сопровождается, как и в случае M2*p*-спектров, усложнением низкоэнергетической структуры и появлением трёх абсорбционных полос *A*\*, *A*1 и *A*2 вместо одной *A*.

Сравним теперь 1s-спектры поглощения атомов лиганда (азота и углерода) в комплексах NiTPP и CoTPP (рис. 3). Предварительно заметим, что измеренные спектры по числу абсорбционных полос и их энергетическим положениям хорошо согласуются с N1s- и C1s-спектрами тетрафенилпорфиринов ZnTPP и CoTPP, полученными в работе [26]. На рисунке для сравнения приведены также соответствующие спектры порфирина NiP [29]. На левой панели хорошо видно, что тонкая структура N1s-спектров поглощения практически совпадает для комплексов никеля: при переходе от простейшего порфирина NiP к более сложному NiTPP основная полоса поглощения В сохраняет свою форму и энергетическое положение в спектре (398.73 eV), следующая полоса  $C^*$  выравнивает свою интенсивность относительно C, и для всех полос  $C^* - D$  наблюдаются незначительные (в пределах 0.15 eV) энергетические сдвиги. В случае CoTPP спектральные характеристики тонкой структуры N1s-спектра также изменяются достаточно слабо при сохранении общего спектрального хода поглощения. Так, резонанс B демонстрирует высокоэнергетический сдвиг  $\sim 0.25 \text{ eV}$ , полоса  $C^*$  становится более интенсивной нежели C и смещается на 0.3 eV в сторону больших энергий, для остальных полос поглощения C - D также характерны небольшие высокоэнергетические сдвиги.

При сравнении C1s-спектров поглощения (рис. 3, правая панель) видно, что тонкая структура спектра радикальным образом перестраивается при переходе от NiP к NiTPP. В результате в спектре последнего сохраняются, по всей видимости, лишь некоторые полосы спектра NiP (B и D), которые претерпевают низкоэнергетические сдвиги около 0.3 eV. Полосы  $B_1$ ,  $B_2$ ,  $C^*$  и C спектра NiP

заплывают (или совсем исчезают), и появляется целый ряд новых абсорбционных полос  $B_1^*$ ,  $B_2^*$ ,  $B_2^*$ ,  $C_1^*$  и  $C_2^*$ . Наблюдаемые изменения в тонкой структуре C1s-спектра NiTPP, с одной стороны, отражают изменения в спектре свободных состояний порфина никеля, обусловленные его химическим связыванием с четырьмя фенильными группами C<sub>6</sub>H<sub>5</sub>, а с другой – появление в спектре C1s-возбуждений фенильных групп. Непосредственное сравнение спектра NiTPP с C1s-спектром молекулы бифенила (С6Н5)2 [42], основные полосы поглощения которой показаны вертикальными чёрточками на рис. 3, указывает на связь абсорбционных резонансов B',  $C_1^*$ ,  $C_2^*$  и D со свободными  $1\pi^*$ -,  $\sigma^*(C-H)$ -,  $2\pi^*$ - и  $\sigma^*(C-C)$ -состояниями фенильной группы. Межатомные расстояния в пиррольном и фенильном (бензольном) циклах примерно одинаковы ( $\sim 0.139$  nm), поэтому  $\sigma^*(C-C)$ -состояния в C1s-спектрах поглощения имеют близкие энергетические положения. Низкоэнергетическая полоса  $B_1*-B_2*$ , наблюдаемая только в C1s-спектре связана, по всей видимости, с электронными переходами на несвязывающую МО порфинового лиганда с С2рхарактером. Эта идентификация полосы  $B_1^* - B_2^*$  согласуется с результатами расчёта C1s-спектра ZnTPP и CoTPP методом функционала плотности (DFT) [26].

Переходя к рассмотрению C1s-спектра поглощения CoTPP, замечаем, что тонкая структура этого спектра по спектральному поведению и энергетическим положениям абсорбционных полос совпадает со структурой спектра NiTPP.

Выполненное непосредственное сравнение всех рентгеновских спектров поглощения комплексов кобальта и никеля указывает на определяющую роль порфина металла в формировании тонкой структуры спектров поглощения атомов Ni, Co и N, тогда как структура C1s-спектров NiTPP и CoTPP определяется главным образом рентгеновскими возбуждениями атомов углерода фенильных групп, а возбуждения порфинового макроцикла наблюдаются явно лишь в низкоэнергетической части спектров. С этим предположением также вполне согласуется обнаруженное слабое влияние на спектры атомов лиганда замены комплексообразующего атома металла.

С учётом этих наблюдений представляется логичным выполнить идентификацию полос поглощения в разных спектрах изучаемых комплексов в рамках квазимолекулярного подхода [35], согласно которому нижние электронные состояния полиатомной системы могут быть приближённо описаны свободными молекулярными орбиталями (МО) квазимолекулы, образуемой поглощающим атомом и атомами его ближайшего окружения. Результаты этой идентификации

используем затем для характеризации нижних незанятых электронных состояний в СоТРР и NiTPP.

Химическое связывание центрального комплексообразующего атома металла с атомами азота порфинового лиганда в NiP, NiTPP и CoTPP имеет донорноакцепторный характер и осуществляется за счёт смещения неподелённой 2рэлектронной пары каждого из атомов азота на свободные 3d-состояния атома металла [38,43]. В результате образуются четыре  $sp^2d$ -гибридизированные  $\sigma$ -связи, обеспечивающие плоскую квадратную  $(D_{4h})$  координацию атома металла атомами азота в исследованных комплексах. Как было показано ранее [29], атом металла и ближайшие к нему атомы азота и углерода  $C_{\alpha}$  в порфирине NiP можно рассматривать как квазимолекулу  $MN_4(C_\alpha)_8$ , которая имеет точечную симметрию комплекса  $(D_{4h})$  и определяет основные абсорбционные резонансы в спектрах поглощения NiP. Вследствие совпадения спектров атомов никеля и азота для NiP и NiTPP логично использовать эту квазимолекулу и для интерпретации спектров атомов металла и азота в комплексах МТРР. В рамках этого подхода абсорбционные полосы во всех спектрах атомов Ni, Co, N и Cα в NiTPP и CoTPP могут быть приближённо описаны с помощью переходов остовных 1s- и 2p-электронов этих атомов на свободные MO квазимолекулы  $MN_4(C_\alpha)_8$ , которые образуются за счет ковалентного смешивания между валентными M3d,4s,4p-, N2p- и  $C_{\alpha}2p$ -атомными орбиталями (AO). Для полного описания структуры C1s-спектров NiTPP и CoTPP необходимо учесть также рентгеновские 1*s*-возбуждения остальных атомов углерода – восьми пиррольных Св, четырёх мостиковых Сь и двадцати четырёх фенильных С<sub>рh</sub>. Последние будут давать доминирующий вклад в тонкую структуру C1s-спектра поглощения изучаемых комплексов.

Обсудим сначала природу 2p-возбуждений атомов никеля и кобальта, которые отражают распределение незанятых 3d-электронных состояний в NiTPP и CoTPP (рис. 2, правая панель). В кристаллическом поле с симметрией плоского квадрата ( $D_{4h}$ ), образуемого четырьмя атомами азота, пять изначально вырожденных M3d-AO расщепляются на двукратно вырожденную  $e_g(3d_{xz,yz})$ - и невырожденные  $a_{1g}(3d_{z^2})$ -,  $b_{2g}(3d_{xy})$ - и  $b_{1g}(3d_{x^2-y^2})$ -компоненты [44]. Таким образом, двухвалентные атомы никеля Ni(II) и кобальта Co(II) в NiTPP и CoTPP имеют электронные конфигурации Ni<sup>2+</sup> и Co<sup>2+</sup> ионов,  $(e_g)^4(a_{1g})^2(b_{2g})^2(b_{1g})^0$  и  $(e_g)^4(a_{1g})^2(b_{2g})^1(b_{1g})^0$  соответственно. Как следствие, атом никеля в NiTPP имеет полностью заполненные три AO и характеризуется суммарным спином равным нулю

(S=0), в то время как в CoTPP имеется один неспаренный электрон на  $3db_{2g}$ орбитали, и комплекс является парамагнетиком (S=1/2).

Эти 3d-AO никеля и кобальта, в свою очередь, смешиваются с N2p-AO, формируя MO  $\sigma$ -типа —  $a_{1g}$  и  $b_{1g}$  — и  $\pi$ -типа —  $b_{2g}$  и  $e_{g}$ . Если учесть, что M4p-AO также принимают участие в связывании, то это приводит к образованию  $\sigma e_{u}$ -,  $\pi a_{2u}$ - и  $\pi e_{u}$ - MO. Стоит отметить также еще две MO  $\pi$ -типа,  $a_{2g}$  и  $b_{2u}$ , которые образуются из N2p-AO и являются несвязывающими [43].

Таким образом, в комплексе NiTPP имеется только одна полностью свободная  $3db_{1g}$ -MO, а в CoTPP кроме неё присутствует ещё частично заполненная  $3db_{2g}$ -MO. В результате в  $2p_{3/2}$ -спектре поглощения никеля наблюдается всего один дипольноразрешённый  $2p_{3/2} \rightarrow 3db_{1g}$  переход, который отвечает за основной резонанс A в спектре. В рамках данного подхода в Со2р3/2-спектре ожидаются два абсорбционных резонанса  $A^*$  и A, которые связаны с переходами  $2p_{3/2}$ -электронов в частично заполненное  $3db_{2g}$ - и незаполненное  $3db_{1g}$ -состояния иона кобальта. Однако в конечном состоянии второго перехода  $(3db_{2q}^13db_{1q}^1)$  между 3d-электронами в частично заполненных  $3db_{2g}$ - и  $3db_{1g}$ -МО возникает дополнительное (обменное) взаимодействие, которое расщепляет конечное состояние на два — синглетное (S=0) и триплетное (S=1), приводя к появлению в спектре двух резонансов  $A_1$  и  $A_2$  вместо одного А. Согласно правилу Хунда [43], наименьшей энергией обладает терм с наибольшим спином: обменное взаимодействие между электронами параллельными спинами уменьшает энергию состояния. Таким образом, пик  $A_1$ соответствует переходу в триплетное возбуждённое состояние с суммарным спином, равным единице  $(b_{2g}^1 \uparrow b_{1g}^1 \uparrow, S = 1)$ , а пик  $A_2$  – переходу в синглетное возбужденное состояние  $(b_{2g}^1 \uparrow b_{1g}^1 \downarrow, S = 0)$ . Следует подчеркнуть, что аналогичное усложнение тонкой структуры наблюдается и в M1s-спектрах при переходе от NiTPP к CoTPP (рис. 2, вставки на левой панели) в низкоэнергетической области, которая отражает квадрупольные  $M1s \rightarrow 3d$  переходы. В свете вышеизложенного понятно, что изменение структуры квадрупольных переходов в СоТРР есть результат обменного 3d-3d электронного взаимодействия в конечном состоянии абсорбционного  $Co1s \rightarrow 3db_{1g}$  перехода.

Обменное 3d—3d электронное взаимодействие приводит к расщеплению не только рентгеновских возбуждений, связанных с переходами 1s- и  $2p_{3/2}$ -электронов кобальта на  $3db_{1g}$ -МО, но и усложняет следующий абсорбционный переход B. Хорошо видно (рис. 2, правая панель), что одиночный резонанс B в  $2p_{3/2}$ -спектре

NiTPP превращается в абсорбционные структуры (плечи)  $B_1$  и  $B_2$  с высокоэнергетической стороны резонанса  $A_2$  в спектре поглощения СоТРР. В спектре NiTPP полоса B отражает переходы Ni2 $p_{3/2}$ -электронов на  $e_g$ -МО  $\pi$ -типа с вкладами Ni3 $d_{xz,yz}\pi$ -состояний и 2 $p\pi$ -состояний атомов порфинового макроцикла. Это непосредственно следует из совпадения спектров никеля и азота для NiTPP и NiP и результатов анализа спектров последнего [29]. Учитывая 3d-характер незанятого  $e_g$ -состояния, естественно полагать, что M2 $p_{3/2}$ →3 $de_g$  переход в СоТРР также будет дублетным вследствие формирования триплетного ( $b_{2g}^1 \uparrow e_g^1 \uparrow$ , S=1)  $B_1$  и синглетного ( $b_{2g}^1 \uparrow e_g^1 \downarrow$ , S=0)  $B_2$  конечных состояний за счет обменного 3d–3d электронного взаимодействия.

Заметим также, что мультиплетный характер конечных состояний для рентгеновских абсорбционных переходов, обусловленный обменным 3d-3d электронным взаимодействием, наблюдался ранее в  $2p_{3/2}$ -спектрах атомов металла в подобных фталоцианиновых комплексах CoPc и FePc, которые обладают парамагнитными свойствами [30]. Известно, что мультиплетность рентгеновских возбуждений может быть обусловлена также обменным 2p-2p электронным взаимодействием, как это имеет место в случае O1s-спектр поглощения парамагнитной молекулы кислорода O2 [45,46].

Дальнейшее обсуждение тонкой структуры измеренных спектров продолжим, рассматривая в рамках квазимолекулярного подхода одновременно все спектры для NiTPP (рис. 4) и CoTPP (рис. 5). Для этого спектры представлены на энергетических шкалах, которые совмещены друг с другом по положению уровня Ферми с использованием энергий связи для остовных электронов. При таком совмещении спектров их тонкую структуру можно рассматривать как результат дипольноразрешенных переходов остовных электронов на общую систему незанятых электронных состояний, которые могут быть аппроксимированы свободными МО квазимолекулы, образуемой поглощающим атомом и атомами его ближайшего окружения [35].

 $Ni2p_{3/2}$ -, N1s- и C1s-спектры NiTPP (рис. 4) представлены на своих энергетических шкалах, которые совмещены, используя разности энергий связи остовных уровней  $\Delta E(Ni2p_{3/2} - N1s) = 456.5$  eV и  $\Delta E(N1s - C1s) = 113.8$  eV, измеренных методом фотоэлектронной спектроскопии. Заметим, что полученные величины всего в пределах 0.1-0.3 eV отличаются от данных работ для NiTPP [11,47] и для NiP [29]. Во всех XPS измерениях для NiTPP фотоэлектронный C1s-спектр представляет одиночную асимметричную с низкоэнергетической стороны линию,

которая малопригодна для разложения на компоненты, связанные с атомами углерода в разных химических состояниях —  $C_{\alpha}$ ,  $C_{\beta}$ ,  $C_{b}$  и  $C_{ph}$  (рис. 1) — и имеющие энергии связи в пределах ширины (~ 1 eV) экспериментальной линии. Таким образом, понятно, что использование C1s-спектра при рассмотрении всего набора спектров NiTPP ограничено, поскольку его энергетическое совмещение выполнено по положению линии, которое, по всей видимости, отражает энергетическое положение фенильных атомов углерода, доминирующих в молекулярном комплексе. Энергетическое совмещение Ni1s-спектра поглощения с Ni2 $p_{3/2}$ -спектром выполнено, используя энергию рентгеновской характеристической  $K\alpha_1(1s \rightarrow 2p_{3/2})$ -линии для металлического никеля (7478.15 eV [48]), поскольку её химсдвиг для подобных комплексов близок к нулю [49].

Рассмотрим все спектры NiTPP в рамках квазимолекулярного подхода, считая, что основные резонансы в них могут быть аппроксимированы свободными МО квазимолекулы  $NiN_4(C_\alpha)_8$ . Из рисунка отчётливо видно, что низкоэнергетическая полоса A в Ni2 $p_{3/2}$ -спектре поглощения имеет аналог в форме малоинтенсивной полосы только в Ni1s-спектре, тогда как в N1s- и C1s-спектрах соответствующие абсорбционные полосы отсутствуют. В работах [27,28], где исследовались  $Ni2p_{3/2}$ -NEXAFS спектры поглощения ряда порфиринов никеля, также отмечался подобный результат, который объяснялся тем, что  $b_{1a}$ -МО является несвязывающей орбиталью, построенной в основном из атомных  ${\rm Ni3}d_{x^2-v^2}$ -состояния с очень малой примесью N2p-состояний, в результате чего соответствующий переход  $N1s \rightarrow 3db_{1g}$ не наблюдается в спектре поглощения азота. Однако, согласно DFT-расчетам электронной структуры NiTPP и других порфиринов никеля [37,50], низшая свободная  $b_{1q}$ -MO (lowest unoccupied MO, LUMO) помимо вклада Ni3 $d_{x^2-y^2}$ состояний содержит также существенный вклад ( $\sim 30\%$ ) 2*p*-состояний атомов азота, и, следовательно, этот вклад должен проявляться в N1s-спектре поглощения в виде достаточно интенсивного низкоэнергетического пика. Его отсутствие удаётся понять, если учесть донорно-акцепторный механизм формирования химической освязи между атомом никеля и атомами азота. Согласно этому механизму каждая неподелённая 2р-электронная пара четырех атомов азота смещается в область свободного  ${
m Ni3}d_{x^2-y^2}$ -состояния и формирует двухэлектронную ковалентную связь между атомом никеля и атомом азота, которая заметно отличается от обычной двуцентровой ковалентной связи [38]. Таким образом, наряду со свободными Ni3dсостояниями в образовании LUMO участвуют также занятые 2*p*-состояния атомов

азота, которые представляют собой неподелённые электронные пары. В этом случае переходы N1s-электронов в LUMO попросту невозможны, поскольку N2p-состояния в ней заняты. Это объяснение не противоречит проявлению  $b_{1g}$ -MO в Ni1s-спектре NiTPP в форме квадрупольного перехода малой интенсивности. Заметим, что аналогичные соображения были использованы нами ранее при рассмотрении NEXAFS-спектров простейшего порфирина никеля NiP [29].

Абсорбционный резонанс B, отчётливо наблюдаемый в Ni2 $p_{3/2}$ - и N1s-спектрах NiTPP, в точности соответствует полосе B в спектрах NiP (рис. 2 и 3). Как и в случае соответствующих спектров NiP [29], этот пик логично связать с переходами остовных электронов на  $e_g$ -МО  $\pi$ -симметрии, в образовании которой участвуют Ni3 $d_{xz,yz}$ -, N2p- и С $_0$ 2p-АО атомов, входящих в состав квазимолекулы MN4(С $_0$ )8. Значительная интенсивность полосы B в Ni2 $p_{3/2}$ -спектре поглощения NiTPP означает, что в этом комплексе, как и в NiP, сохраняется заметная делокализация 3d-электронной плотности. В работах [27–29] подобная делокализация в порфиринах и фталоцианине никеля была связана с сильным  $\pi$ -связыванием между атомами никеля и лиганда. Это связывание осуществляется за счет ковалентного Ni3 $d_{xz,yz}$ -N,C2p смешивания и сопровождается зарядовым переносом Ni3d-электронной плотности на атомы лиганда (эффект обратного донирования [44]).

Между резонансами A и B, однозначно идентифицируемыми в Ni2 $p_{3/2}$ - и N1s-спектрах NiTPP, располагаются абсорбционные структуры  $B_1*$ ,  $B_2*$  и B', которые наблюдаются только в C1s-спектре NiTPP (рис. 4). Как следует из сравнения этого спектра с C1s-спектром NiP (рис. 3), эти структуры обусловлены рентгеновскими возбуждениями атомов углерода порфинового лиганда ( $B_1*$ ,  $B_2*$ ) и фенильной группы (B'). Плечо B с высокоэнергетической стороны полосы B' связано, повидимому, с C1s-переходами в порфиновом лиганде. Таким образом, существенные различия C1s-спектров поглощения порфинового лиганда в NiTPP и NiP (рис. 3) отражают изменения в химическом состоянии атомов углерода порфинового макроцикла и структуре его МО в результате присоединения к порфину четырёх фенильных групп. Это приводит к появлению в NiTPP свободных электронных состояний в энергетическом интервале между  $\sigma b_{1g}(A)$ - и  $\pi e_{g}(B)$ -состояниями, образуемыми центральной областью (NiP) в NiTPP.

Далее, возбуждённое состояние, ответственное за абсорбционную полосу  $C^*$ , явно наблюдаются, по-видимому, только в N1s-спектре и отсутствует в спектрах никеля и углерода. Это позволяет предполагать, что эта полоса связана с переходами N1s-электронов на несвязывающую свободную МО  $\pi$ -типа ( $b_{2u}$  или  $a_{2g}$ ) порфинового

макроцикла. В работах [22,24] полоса  $C^*$  из-за недостаточного разрешения наблюдалась в N1s-спектрах ZnTPP и CoTPP вместе с полосой C в виде одной полосы, которая на основании CNDO/S2-расчётов была связаны с электронными переходами на две близко расположенные  $\pi b_{2u}$ - и  $\pi e_g$ -MO, локализованные на пиррольных кольцах порфинового макроцикла. Отсутствие этой абсорбционной полосы в C1s-спектре обусловлено, по-видимому, её слабостью на фоне доминирующих абсорбционных структур фенильных групп.

Полосы поглощения  $C_1^*$  и  $C_2^*$  в C1*s*-спектре NiTPP, как было ранее показано (рис. 3), связаны с возбуждением 1*s*-электронов атомов углерода фенильных групп в свободные электронные  $\sigma^*(C-H)$ - и  $2\pi^*$ -состояния последних.

Наконец, рассмотрим происхождение полосы C, которая отчётливо наблюдается в Ni1s-, Ni2 $p_{3/2}$ - и N1s-спектрах поглощения (рис. 4). В 1s-спектрах поглощения 3*d*-атомов в плоских комплексах подобная полоса обычно связывается с переходами остовных электронов на  $a_{2u}$ -МО  $\pi$ -типа с вкладом  $4p_z$ -состояний атома металла [51], которая в нашем случае образована  $4p_z$ -AO атома металла и 2pсостояниями атомов N и C. Такое строение этой MO объясняет её проявление в 1sспектрах поглощения атомов никеля и азота, поскольку на неё разрешены дипольные переходы Ni1s- и N1s-электронов. В C1s-спектре подобные переходы не видны вследствие доминирования С1*s*-возбуждений фенильных групп. Однако такая идентификация полосы C не объясняет её заметную интенсивность в  $Ni2p_{3/2}$ -спектре поглощения: переходы  $Ni2p_{3/2} \rightarrow 4p_z$  дипольно запрещены. Поэтому логично считать, что в спектре свободных электронных состояний NiTPP вблизи  $a_{2u}$ -MO располагается MO, переходы на которую дипольно разрешены для  $Ni2p_{3/2}$ электронов. Вполне вероятно, что таковой является разрыхляющая  $a_{1g}$ -MO  $\sigma$ -типа, которая образована из Ni4s-,  $3d_{z^2}$ - и N2p-состояний и поэтому дипольно доступна для абсорбционных переходов 1*s*-электронов атомов никеля и азота.

Рассмотрим теперь спектры CoTPP (рис. 5). Co2 $p_{3/2}$ -, N1s- и C1s-спектры CoTPP представлены на своих энергетических шкалах, которые совмещены, используя разности энергий связи остовных уровней  $\Delta E(\text{Co2}p_{3/2} - \text{N1}s) = 381.3 \text{ eV}$  и  $\Delta E(\text{N1}s - \text{C1}s) = 113.8 \text{ eV}$ , измеренных методом фотоэлектронной спектроскопии. Заметим, что полученные величины всего в пределах точности эксперимента (0.1–0.3 eV) совпадают с данными работ для CoTPP [11,47]. Как и в случае NiTPP, использование C1s-спектра CoTPP при рассмотрении всего набора спектров ограничено, поскольку его структура отражает главным образом рентгеновские возбуждения фенильных атомов углерода, доминирующих в молекулярном

комплексе. Энергетическое совмещение Co1s-спектра поглощения с  $Co2p_{3/2}$ -спектром выполнено, используя энергию рентгеновской характеристической  $K\alpha_1(1s\rightarrow 2p_{3/2})$ -линии для металлического кобальта (6930.32 eV [48]).

При сравнении энергетически совмещённых  $Co2p_{3/2}$ -, Co1s- и N1s-спектров поглощения CoTPP (Рис. 5) видно, что низшее свободное состояние комплекса задаёт полоса поглощения  $A^*$ . Выше было показано, что она связана с переходами  $2p_{3/2}$ - и 1s-электронов атома кобальта на частично заполненную  $3db_{2g}$ -МО  $\pi$ -типа. Затем следует свободная слабо разрыхляющая  $3db_{1g}$ -МО  $\sigma$ -типа, электронные переходы на которую отображаются в спектрах кобальта в виде триплетного и синглетного компонентов ( $A_1$  и  $A_2$ ) вследствие обменного 3d-3d взаимодействия электронов на частично заполненных  $3db_{2g}$ - и  $3db_{1g}$ -МО. Несмотря на гибридизированный ( $Co3d_{x^2-y^2}$ +N2p)-характер  $b_{1g}$ -МО в N1s-спектре не наблюдаются абсорбционные полосы, соответствующие полосам  $A_1$  и  $A_2$ . Как и в случае NiTPP и NiP, этот факт является следствием невозможности N1s- $b_{1g}$ -МО переходов, поскольку вклад в эту MO дают неподелённые пары N2p-электронов [29].

Следующее свободное состояние наблюдается как одиночная полоса B в N1s-спектре и двойная  $B_1$  и  $B_2$  в  $2p_{3/2}$ -спектре кобальта. Представляется логичным приписать эти полосы, как и в случае спектров NiTPP и NiP, переходам остовных электронов атомов азота и кобальта на  $e_g$ -MO  $\pi$ -типа с гибридизированным (Co3 $d_{xz,yz}$ +N2p)-характером, рассматривая дублетную структуру перехода как результат обменного 3d-3d электронного взаимодействия в конечном состоянии. Необходимо заметить, что взаимное энергетическое расстояние между полосами  $A_1(A_2)$  и  $B_1(B_2)$  в CoTPP ( $\sim 1.4$  eV) заметно меньше расстояния между соответствующими полосами A и B в NiTPP (1.9 eV). Это значительное уменьшение, очевидно, отражает изменения в спектре свободных электронных состояний комплексов МТРР, происходящие при замене атома никеля атомом кобальта.

В пользу заметной перестройки спектра свободных электронных состояний в СоТРР по сравнению с NiTPP говорит также тот факт, что низкоэнергетическая полоса  $B_1^* - B_2^*$ , располагающаяся в C1s-спектре NiTPP между полосами A и B, заметно сдвигается в спектре CoTPP в сторону полосы  $A_1(A_2)$ . В результате свободное состояние комплекса CoTPP, ответственное за эту полосу, энергетически оказывается ниже  $3db_{1g}$ -МО, с электронными переходами на которую связаны абсорбционные полосы  $A_1$  и  $A_2$  в  $2p_{3/2}$ -спектре поглощения кобальта.

Заканчивая рассмотрение спектров поглощения CoTPP, заметим, что чёткая полоса C имеет близкие энергетические положения в совмещённых Ni1s-, Ni2p3/2- и

N1*s*-спектрах NiTPP (рис. 4), тогда как в спектрах кобальта в CoTPP она плохо сформирована и недостаточно хорошо согласуется по энергетическому положению в спектрах металла. Тем не менее, мы полагаем, что она, как и в случае NiTPP, связана с электронными переходами на MO, имеющими значительные вклады Co4*p*-и Co4*s*-состояний.

Авторы выражают благодарность М.М. Бржезинской (БЭССИ), Е.М. Загребиной и А.В. Захаровой (СПбГУ) за помощь при проведении измерений.

#### 4. Заключение

абсорбционной Методами рентгеновской спектроскопии изучены энергетические распределения и свойства нижних свободных электронных состояний в комплексах тетрафенилпорфиринов кобальта СоТРР и никеля NiTPP. Квазимолекулярный анализ экспериментальных NEXAFS спектров, измеренных в области 2p- и 1s-порогов ионизации комплексообразующих атомов металлов, а также 1*s*-порогов атомов лиганда (азота и углерода), выполнен на основе сравнения соответствующих спектров между собой и со спектрами простейшего порфирина никеля NiP. Установлено, что при общем подобии спектров азота и углерода для СоТРР и NiTPP тонкая структура 2p- и 1s-спектров поглощения атомов кобальта и никеля отличается радикальным образом друг от друга. Наблюдаемые различия спектров кобальта связываются с парамагнетизмом СоТРР, обусловленным наличием частично заполненной валентной  $3db_{2g}$ -MO. Показано, что спектр свободных состояний CoTPP отличается от спектра NiTPP за счёт наличия  $3db_{2g}$ -MO, меньшего расстояния между  $3db_{1g}$ -МО и  $e_{g}$ -МО, а также энергетически более низкого расположения несвязывающих МО с С2*p*-характером.

# Список литературы

- [1] K.M. Kadish, K.M Smith, R. Guilard (ed). The Porphyrin Handbook, vol. 1–10, San Diego, CA: Academic, 2000.
- [2] J.P. Collman, R. Boulatov, C.J. Sunderland, L. Fu. Chem. Rev. **104**, 561 (2004).
- [3] H.L. Anderson. Chem. Commun., 2323 (1999).
- [4] O. Senge, M. Fazekas, E.G.A. Notaras, W.J. Blau, M. Zawadzka, O.B. Locos, E.M. Ni Mhuiercheartaigh. Adv. Mater. **19**, 2737 (2007).
- [5] P. Bhyrappa, J.K. Young, J.S. Moore, and K.S. Suslick. J. Am. Chem. Soc. **118**, 5708 (1996).
- [6] M. Ethirajan, Y. Chen, P. Joshi, R.K. Pandey. Chem. Soc. Rev. 40, 340 (2011).
- [7] D. Filippini, A. Alimelli, C. Di Natale, R. Paolesse, A. D'Amico, I. Lundström. Angew. Chem. Int. Ed. **45**, 3800 (2006).
- [8] A. Yella, H.-S. Lee, H.N. Tsao, C. Yi, A.K. Chandiran, Md.K. Nazeeruddin, E. W.-G. Diau, C.-Y. Yeh, S.M. Zakeeruddin, M. Grätzel. Science **334**, 629 (2011).
- [9] Z. Liu, A.A. Yasseri, J.S. Lindsey, D.F. Bocian. Science **302**, 1543 (2003).
- [10] W. Auwärter, K. Seufert, F. Klappenberger, J. Reichert, A. Weber-Bargioni, A. Verdini, D. Cvetko, M. Dell'Angela, L. Floreano, A. Cossaro, G. Bavdek, A. Morgante, A.P. Seitsonen, J.V. Barth. Phys. Rev. B **81**, 245403 (2010).
- [11] L. Scudeiro, D.E. Barlow, K.W. Hipps. J. Phys. Chem B **104**, 11899 (2000).
- [12] L. Scudeiro, K.W. Hipps, D.E. Barlow. J. Phys. Chem B **107**, 2903 (2003).
- [13] L.G. Teugels, L.G. Avila-Bront, S.J. Sibener. J. Phys. Chem. C 115, 2826 (2011).
- [14] S. Fatayer, R.G.A. Veiga, M.J. Prieto, E. Perim, R. Landers, R.H. Miwa, A. de Siervo. Phys. Chem. Chem. Phys. 17, 18344 (2015).
- [15] T. Lukasczyk, K. Flechtner, L.R. Merte, N. Jux, F. Maier, J.M. Gottfried, H.-P. Steinrück. J. Phys. Chem. C 111, 3090 (2011).
- [16] A. Weber-Bargioni, W. Auwärter, F. Klappenberger, J. Reichert, S. Lefrancois, T. Strunskus, C. Wölf, A. Schiffrin, Y. Pennec, J.V. Barth. ChemPhysChem **9**, 89 (2008).
- [17] Y. Bai, M. Sekita, M. Schmid, T. Bischof, H.-P. Steinrück, J.M. Gottfried. Phys. Chem. Chem. Phys. **12**, 4336 (2010).
- [18] J.M. Gottfried, K. Flechtner, A. Kretschmann, T. Lukasczyk, H.-P. Steinrück. J. Am. Chem. Soc. **128**, 5644 (2006).
- [19] M. Chen, X. Feng, L. Zhang, H. Ju, Q. Xu, J. Zhu, J.M. Gottfried, K. Ibrahim, H.

- Qian, J. Wang. J. Phys. Chem. C 114, 9908 (2010).
- [20] K. Diller, F. Klappenberger, M. Marschall, K. Hermann, A. Nefedov, Ch. Wöll, J.V. Barth. J. Chem. Phys. **136**, 014705 (2012).
- [21] J. Stöhr. NEXAFS Spectroscopy. Springer Series in Surface Science. Springer Verlag, Berlin. (1992). Vol. 25. 403 p.
- [22] S. Narioka, H. Ishii, Y. Ouchi, T. Yokayama, T. Ohta, K. Seki. J. Phys. Chem. **99**, 1332 (1995).
- [23] L.X. Chen, W.J.H. Jäger, G. Jennings, D.J. Gosztola, A. Munkholm, J.P. Hessler. Science **292**, 262 (2001).
- [24] T. Okajima, Y. Yamamoto, Y. Ouchi, K. Seki. J. Electron Spectrosc. Relat. Phenom. 114-116, 849 (2001).
- [25] M.P. de Jong, R. Friedlein, S.L. Sorensen, G. Öhrwall, W. Osikowicz, C. Tengsted, S.K.M. Jönsson, M. Fahlman, W.R. Salaneck. Phys. Rev. B **72**, 035448 (2005).
- [26] N. Schmidt, R. Fink, W. Hieringer. J. Chem. Phys. 133, 054703 (2010).
- [27] S.A. Krasnikov, A.B. Preobrajenski, N.N. Sergeeva, M.M. Brzhezinskaya, M.A. Nesterov, A.A. Cafolla, M.O. Senge, A.S. Vinogradov. Chemical Physics **332**, 318 (2007)
- [28] S.A. Krasnikov, N.N. Sergeeva, M.M. Brzhezinskaya, A.B. Preobrajenski, Y.N. Sergeeva, N.A. Vinogradov, A.A. Cafolla, M.O. Senge, A.S. Vinogradov. J. Phys.: Condens. Matter **20**, 235207 (2008).
- [29] Г.И. Свирский, Н.Н. Сергеева, С.А. Красников, Н.А. Виноградов, Ю.Н. Сергеева, А.А. Cafolla, А.Б. Преображенский, А.С. Виноградов. ФТТ **59** (2), 357 (2017).
- [30] K.A. Simonov, A.S. Vinogradov, M.M. Brzhezinskaya, A.B. Preobrajenski, A.V. Generalov, A.Yu. Klyushin. Applied Surface Science **267**, 132 (2013)
- [31] S.I. Fedoseenko, I.E. Iossifov, S.A. Gorovikov, J.-S. Schmid, R. Follath, S.L. Molodtsov, V.K. Adamchuk, G. Kaindl. Nucl. Insrum. Meth. Phys. Res. A **470**, 84 (2001).
- [32] http://www.sigmaaldrich.com/russian-federation.html
- [33] А.П. Лукирский, И.А. Брытов. ФТТ 6, 43 (1964).
- [34] W. Gudat, C. Kunz. Phys. Rev. Lett. 29, 169 (1972).
- [35] A.S. Vinogradov, S.I. Fedoseenko, S.A. Krasnikov, A.B. Preobrajenski, V.N. Sivkov, D.V. Vyalikh, S.L. Molodtsov, V.K. Adamchuk, C. Laubschat and G.

- Kaindl. Phys. Rev. B 71, 045127 (2005).
- [36] A.A. Chernyshov, A.A. Veligzhanin, Y.V. Zubavichus. Nucl. Insrum. Meth. Phys. Res. A **603**, 95 (2009).
- [37] M.-S. Liao, S. Scheiner. J. Chem. Phys. 117, 205 (2002).
- [38] C. Berrios, G.I. Cárdenas-Jirón, J.F. Marco, C.Gutiérrez, M.S. Ureta-Zañartu. J. Phys. Chem. A 111, 2706 (2007).
- [39] W.R. Scheidt, Y.J. Lee, Structure and Bonding **64**, 1 (1987).
- [40] H. Ebert, J. Stöhr, S. S. P. Parkin, M. Samant, A. Nilsson. Phys. Rev. B 53, 16067 (1996).
- [41] J.G. Chen. Surf. Science Reports **30**, 1(1997).
- [42] J. Wang, G. Cooper, D. Tulumello, A.P. Hitchcock. J. Phys. Chem. A **109**, 10886 (2005).
- [43] G.L. Miessler, P.J. Fischer, D.A. Tarr, Inorganic chemistry (Fifth edition ed.). Upper Saddle River, New Jersey: Pearson, 2014.
- [44] И.Б. Берсукер. Электронное строение и свойства координационных соединений. Введение в теорию. 3-е изд., перераб. Л.: Химия, 1986. 288 с.
- [45] А.С. Виноградов, Т.М. Зимкина, В.Н. Акимов, Б. Шларбаум. Известия АН СССР, сер. физ. **38**, №3, 508 (1974).
- [46] G.R. Wight, C. E. Brion. J. Electron Spectrosc. Relat. Phenom. 4, 313 (1974).
- [47] D.H. Karweik, N. Winograd. Inorg. Chem. **15** (10), 2336 (1976).
- [48] J.A. Bearden. Rev. Mod. Phys. **39**, 78 (1967).
- [49] T. Konishi, J. Kawai, M. Fujiwara, T. Kurisaki, H. Wakita and Y. Gohshi. X-Ray Spectrometry **28**, 470 (1999).
- [50] A. Rosa, G. Ricciardi, E.J. Baerends, S.J.A. van Gisbergen. J. Phys. Chem. A 105, 3311 (2001).
- [51] T.A. Smith, J.E. Penner-Hahn, M.A. Berding, S. Doniach, K.O. Hodgson. J. Amer. Chem. Soc. **107**, 5945 (1985).

# Подписи к рисункам.

Рис. 1.	Схематическое изображение комплекса тетрафенилпорфирина металла MTPP (M=Ni, Co).
Рис. 2.	M1s- и $M2p$ -спектры поглощения тетрафенилпорфиринов никеля и кобальта NiTPP и CoTPP. Низкоэнергетическая область $M1s$ -спектров в увеличенном масштабе изображена на вставках. Для сравнения приведен $Ni2p$ -спектр порфирина NiP [29].
Рис. 3.	N1s- и C1s-спектры поглощения тетрафенилпорфиринов никеля и кобальта NiTPP и CoTPP. Для сравнения приведены N1s- и C1s-спектры порфирина NiP [29].
Рис. 4.	Энергетически совмещенные Ni2 $p_{3/2}$ -, Ni1 $s$ -, N1 $s$ - и C1 $s$ -спектры поглощения тетрафенилпорфирина никеля NiTPP. Энергетические шкалы совмещены с учетом разницы между энергиями связи остовных уровней $\Delta E(\text{Ni2}p_{3/2}-\text{N1}s)$ =456.5 eV и $\Delta E(\text{N1}s-\text{C1}s)$ =113.8 eV. Ni1 $s$ -спектр приведен к шкале Ni2 $p_{3/2}$ -спектра, используя энергию характеристической $K\alpha_1(1s \rightarrow 2p_{3/2})$ -перехода в металлическом никеле 7478.15 eV [47]).
Рис. 5.	Энергетически совмещенные $Co2p_{3/2}$ -, $Co1s$ -, $N1s$ - и $C1s$ -спектры поглощения тетрафенилпорфирина кобальта CoTPP. Энергетические шкалы совмещены с учетом разницы между энергиями связи остовных уровней $\Delta E(Co2p_{3/2}-N1s)$ =381.3 eV и $\Delta E(N1s-C1s)$ =113.8 eV. $Co1s$ -спектр приведен к шкале $Co2p_{3/2}$ -спектра, используя энергию характеристической $K\alpha_1(1s \rightarrow 2p_{3/2})$ -перехода в металлическом кобальте (6930.32 eV [47]).

Рис. 1.

к статье Г.И. Свирский, А.В. Генералов и др. «Сравнительное рентгеноабсорбционное исследование спектра свободных электронных состояний в комплексах тетрафенилпорфиринов кобальта и никеля»

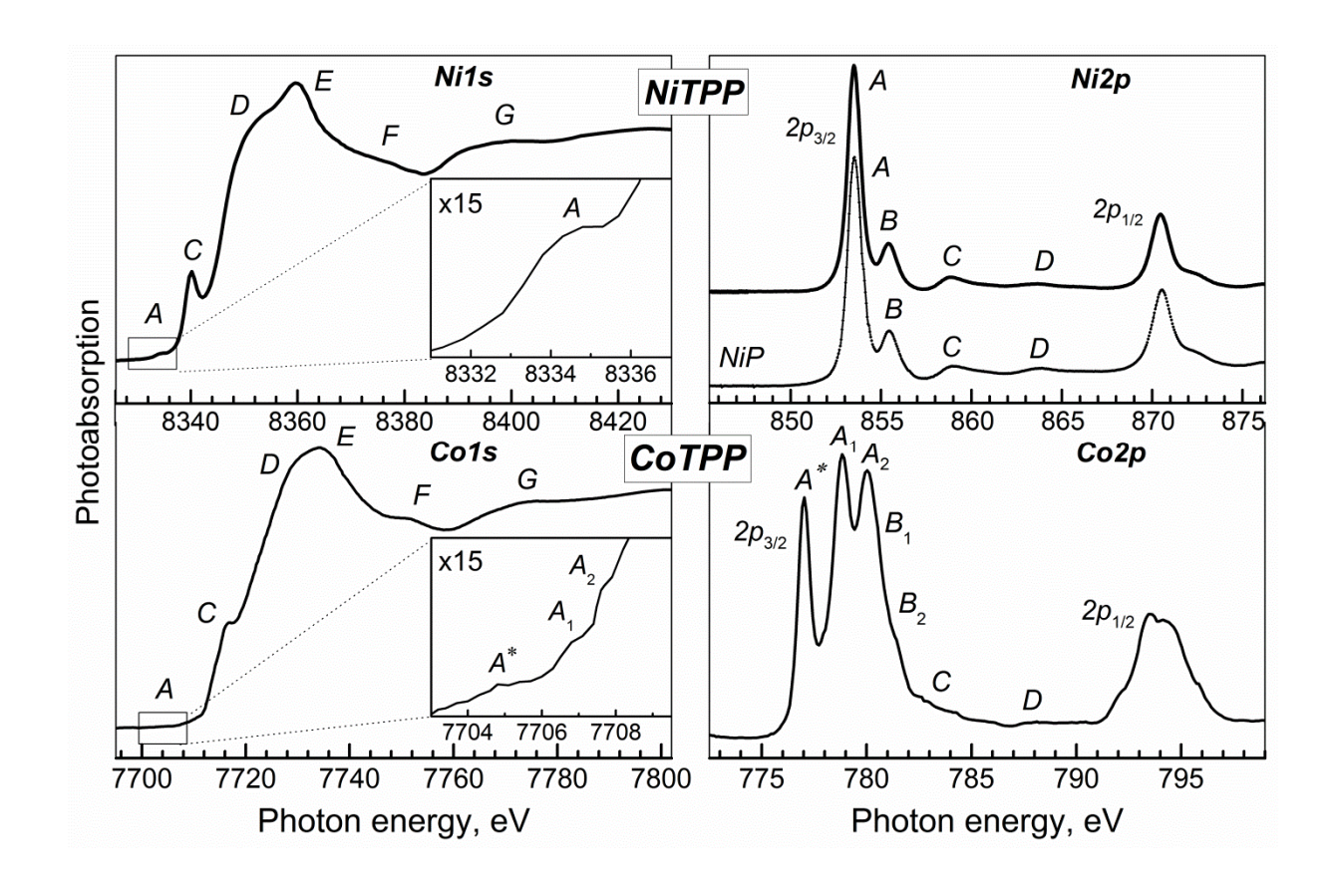


Рис. 2.

к статье Г.И. Свирский, А.В. Генералов и др. «Сравнительное рентгеноабсорбционное исследование спектра свободных электронных состояний в комплексах тетрафенилпорфиринов кобальта и никеля»

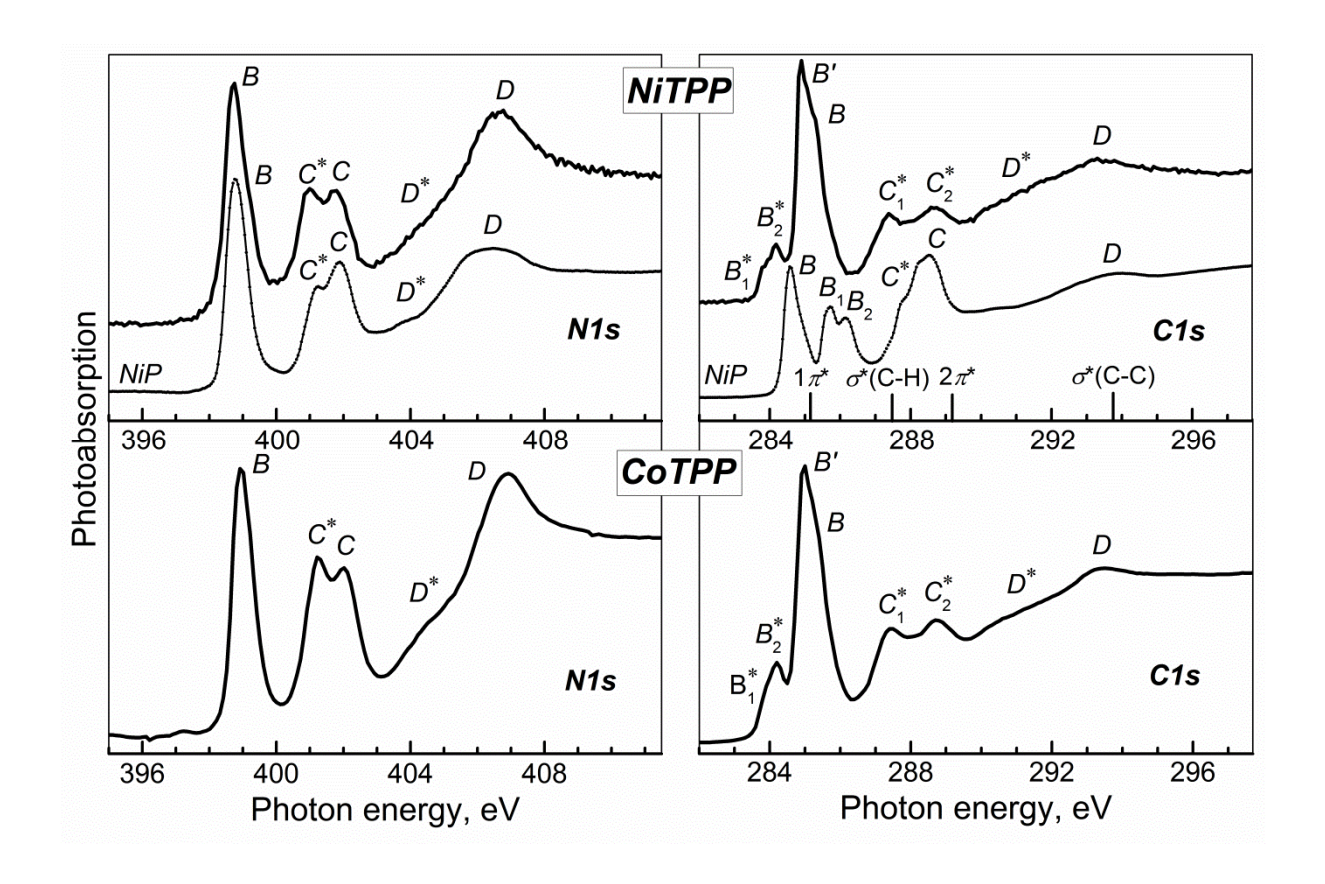


Рис. 3.

к статье Г.И. Свирский, А.В. Генералов и др. «Сравнительное рентгеноабсорбционное исследование спектра свободных электронных состояний в комплексах тетрафенилпорфиринов кобальта и никеля»

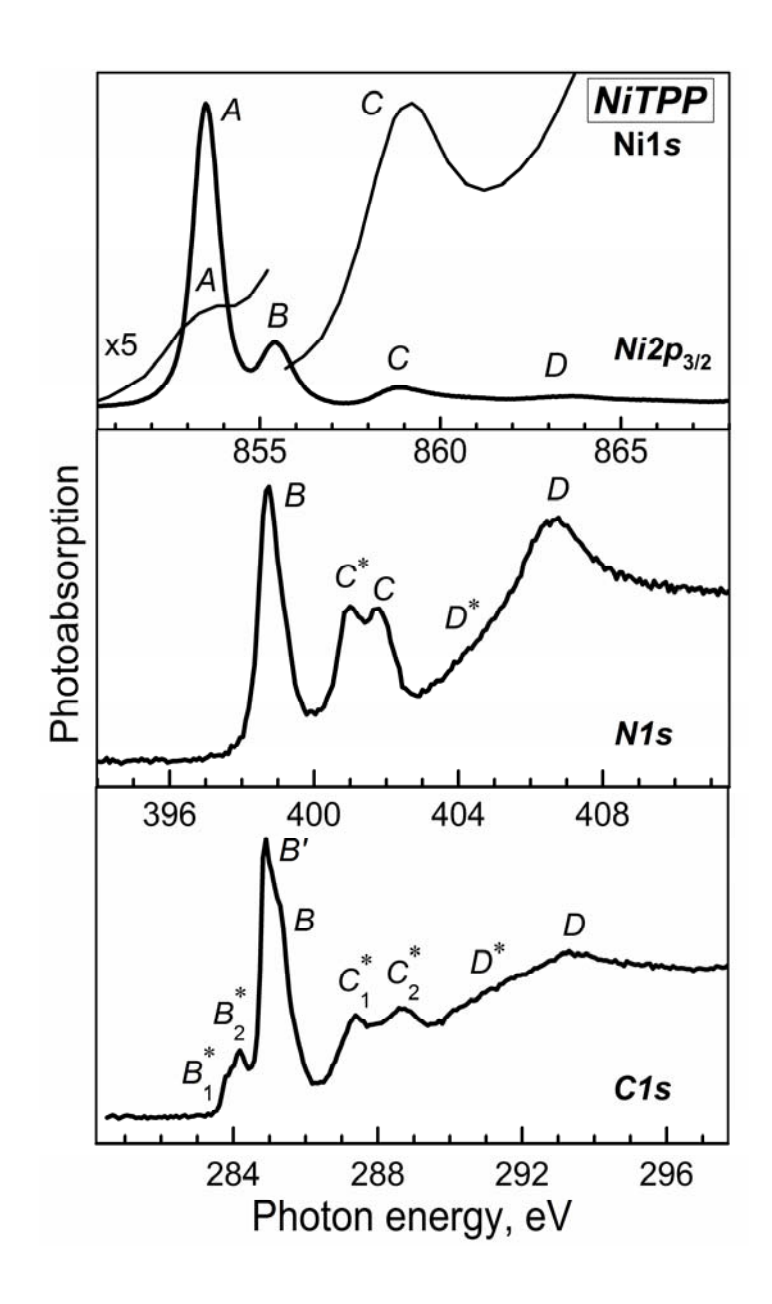


Рис. 4.

к статье Г.И. Свирский, А.В. Генералов и др. «Сравнительное рентгеноабсорбционное исследование спектра свободных электронных состояний в комплексах тетрафенилпорфиринов кобальта и никеля»

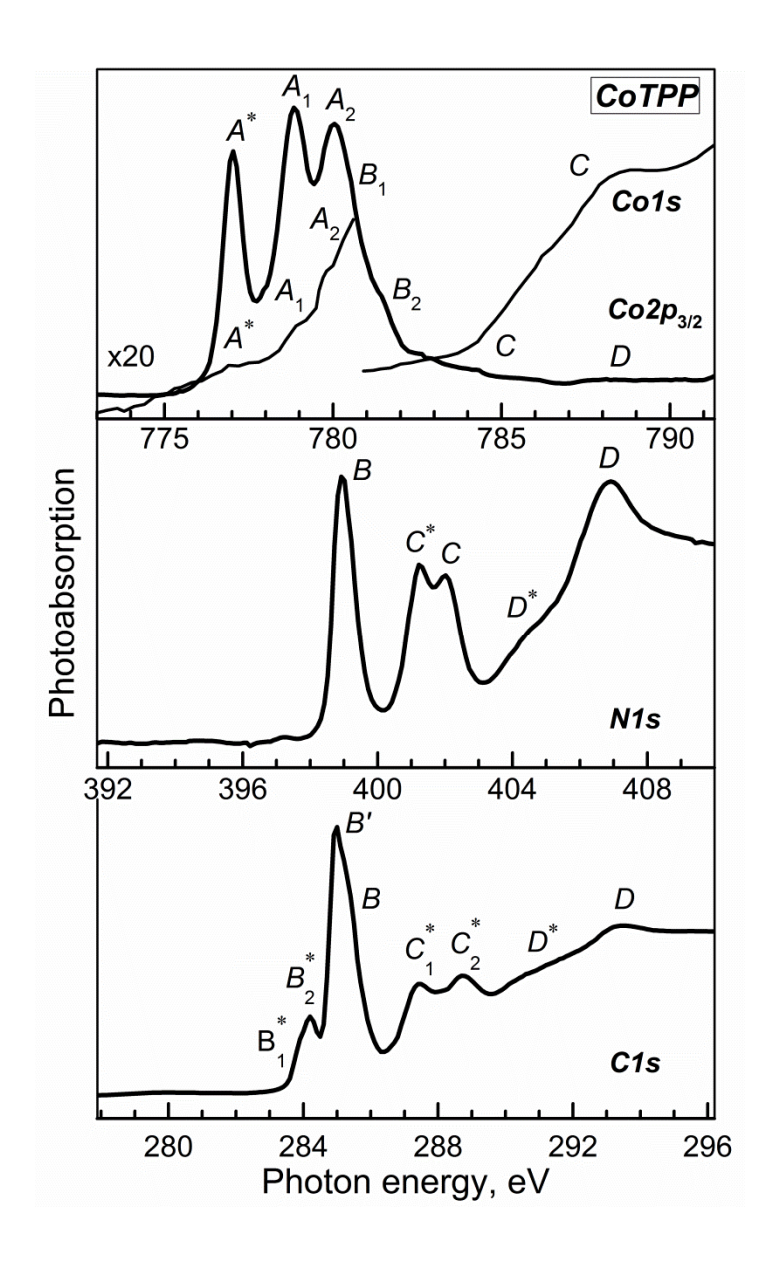


Рис. 5.

к статье Г.И. Свирский, А.В. Генералов и др. «Сравнительное рентгеноабсорбционное исследование спектра свободных электронных состояний в комплексах тетрафенилпорфиринов кобальта и никеля»